

I-82 自由落下水束の実験的研究(第1報)  
落下水束の形状と空気連行について

大阪大学工学部 正員 ○室田 明  
同 正員 劉 在輝

アーチダムの *overtopping* による余水放流等のように落下始めて静圧以上の圧力を受けて放出され以後重力によつて加速されつつ空中を落下する水束を自由落下水束と呼ぶ。Rayleigh に始まり Weber, Defant, Richardson 等によつて微細に至つて解明されといふ water jet の breakup は slender な噴流を対象として卓越因子が表面張力であり重力効果を無視していいる点が我々のここに扱う問題と本質的に異なる。

実験は落差: 6m, 3m, 2m の高架水槽から 20~2 l/sec の範囲の流量を銳縁矩形堰を越えて落下せしめる。落下水束の軌線を Fig. 1 に示す。堰頂での流速  $U_0 = \sqrt{gH_0}$  ( $H_0$ : 堰単位幅当りの流量) を初期速度とする直角落下の軌跡と、物部式:  $Z = (X + 1/2.155)^{2.33} - 1$  と比較すると我々の実験曲線は常に最も外側に出で  $Z = (g/2U_0^2)X^{1.8}$  の放物線で表現される。

breakup して後完全飛沫化した領域で (Fig. 2 における 3 方向) の単位面積当りの飛沫量  $\eta$  の分布の一実験例を Fig. 3 に示し、さらには  $\eta/\eta_{max}$  と  $3/\eta$  の無次元表示を Fig. 4 に示す。turbulent jet の流速分布に関する幾何学的相似がこの場合にも拡張されようという期待は外れて正規分布からの歪みはかなり大きい。すなわち落下流量の増加と共に  $\eta/\eta_{max}$  の分散が減少して幾何学的相似の原則が破れ、さらに軸線より外側の分散が内側のそれより常に大きく分布の対称性が成り立たない。

開水路高速流では流入端から発達する乱流境界層が水面に到達する点をもつて空気連行開始点とすることが確認されていいるが、自由落下水束の空気連行、すなわち initial breakup の現象については上の見解は全く適用しえない。weir edge からの攪乱発達の計算によると break point  $\eta_0$  が極めて過小になることは勿論であつて、我々の行った高速撮影の記録によると水束表面は落下と共に乱れ波打ち、breakup の瞬間は既に水束の表皮が引きむしらへるが如く飛び散るのが鮮やかに認められる。従つて自由落下水束

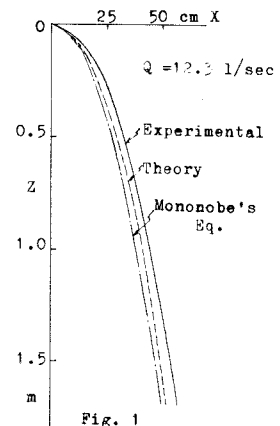


Fig. 1

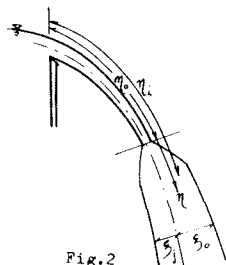


Fig. 2

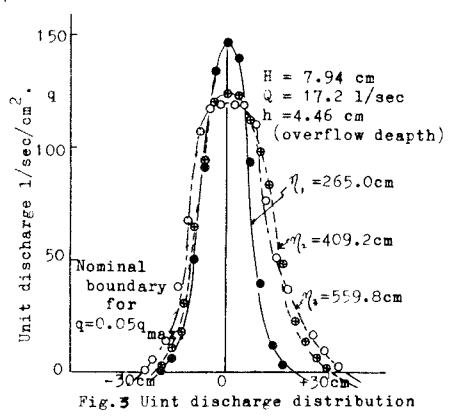


Fig. 3 Unit discharge distribution curves.

の空気連行は開水路疊波列と同じ機構で起る水面の自動振動の breaking である。

Weber は表面張力の支配する slender jet において初期擾乱の振幅  $\delta$  が飛行とともに増幅されて sinuous break が発生するとし、最近(1964) Chen, Davis はその解を turbulent jet に拡張し break point  $\eta_0$  と 1 次式を発表した。

$$\eta_0/D = \log_{2\delta} W$$

ここに  $W$ : Weber 数,  $D$ : jet を発するパイプ径。

我々の扱う落水束はその支配要素が重力であるから、上式の  $W$  に対応するものとして Froude 数  $Fr$  を、  $D$  の替わりに越流水深  $h$  を用ひるべきであるから、落水束の場合  $\eta_0/h = \text{const}$

$Fr \equiv U_0/\sqrt{gh}$  とするとき、斜傾堰の場合、 $Fr = \text{const} (= 0.544)$ 、さうに初期擾乱の振幅  $\delta$  が internal turb. の最大渦の大きさに相当すると考えれば  $\delta = ch$  ( $c \approx 0.14$ )、依つて

$$\eta_0/h = \text{const.}$$

の関係が予想される。落差 2m の水槽で堰幅  $b = 10, 20 \text{ cm}$ 、落差 6m の水槽で  $b = 50 \text{ cm}$  として  $\eta_0/h$  の実験値を示せば Fig. 6 の如くであり、以上の予想が証明される。なお堰幅有限の場合は side contraction が大きく効いてくるので  $\eta_0/h$  の二次元的解説は十分でない。

前述の如く breakup に寄与する水面波動の周波数  $f$  は流下と共にゆるやかに増加する傾向が認められるが、break point 近くでの  $f$  を流量に因し整理すれば

Fig. 7 の如くである。振動周波数についての無次元量 (Strouhal 数)  $fh/U_0$  を実験値から求めると  $fh/U_0 = 0.82$  となり Kármán vortex の Strouhal 数 (0.21) よりかなり大きいことは興味ある事実である。

本研究は電源開発株式会社の委託による研究の一部であることを付記する。

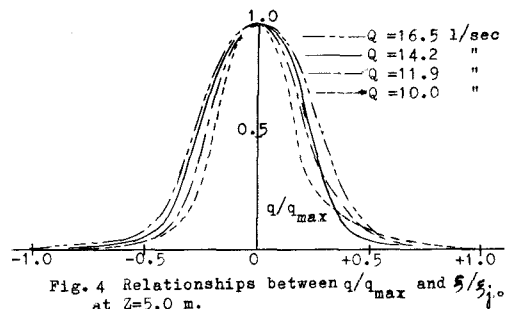


Fig. 4 Relationships between  $q/q_{\max}$  and  $s/s_0$  at  $Z=5.0 \text{ m}$ .

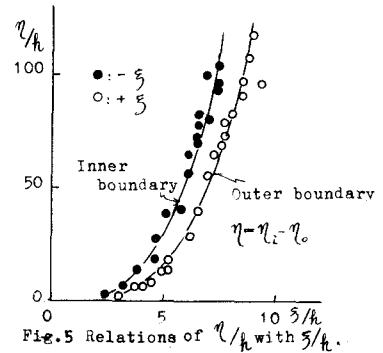


Fig. 5 Relations of  $\eta/h$  with  $s/h$ .

( $\eta = 0.05 \eta_{\max}$  を各々 nominal boundary とする。)

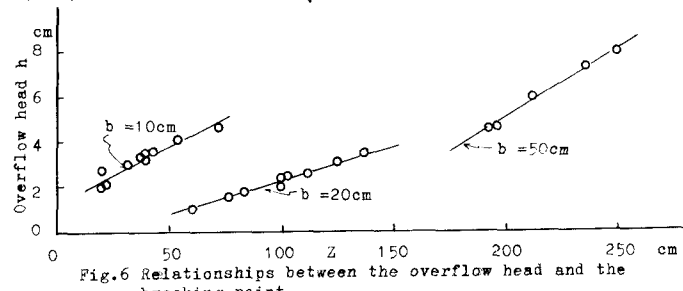


Fig. 6 Relationships between the overflow head and the breaking point.

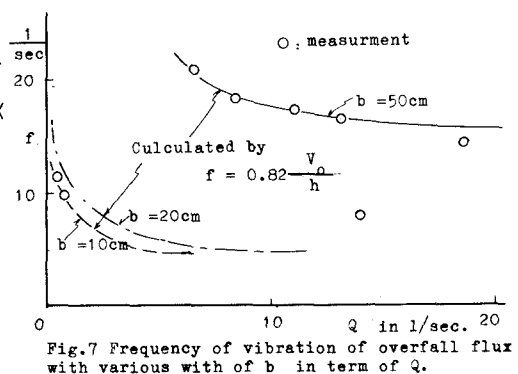


Fig. 7 Frequency of vibration of overall flux with various width of  $b$  in term of  $Q$ .